

Data collection

Enraf–Nonius CAD-4 diffractometer
 $\omega/2\theta$ scans
 Absorption correction: none
 4732 measured reflections
 4732 independent reflections
 2038 reflections with $I > 2\sigma(I)$

$\theta_{\max} = 29.95^\circ$
 $h = -10 \rightarrow 10$
 $k = 0 \rightarrow 16$
 $l = 0 \rightarrow 23$
 3 standard reflections
 frequency: 60 min
 intensity variation: <3%

Pèpe, G. (1979). *DATARED. Programs for X-ray Diffraction Data Reduction*. CRMC2-CNRS, Marseille, France.
 Sheldrick, G. M. (1990). *Acta Cryst. A46*, 467–473.
 Sheldrick, G. M. (1993). *SHELXL93. Program for the Refinement of Crystal Structures*. University of Göttingen, Germany.

Refinement

Refinement on F^2
 $R[F^2 > 2\sigma(F^2)] = 0.036$
 $wR(F^2) = 0.066$
 $S = 0.923$
 4732 reflections
 376 parameters
 H atoms refined with fixed values for $d = 1 \text{ \AA}$ and $U = 0.05 \text{ \AA}^2$

$w = 1/[\sigma^2(F_o^2) + (0.0036P)^2]$
 where $P = (F_o^2 + 2F_c^2)/3$
 $(\Delta/\sigma)_{\max} = 0.002$
 $\Delta\rho_{\max} = 0.09 \text{ e \AA}^{-3}$
 $\Delta\rho_{\min} = -0.18 \text{ e \AA}^{-3}$
 Extinction correction: none
 Scattering factors from *International Tables for Crystallography* (Vol. C)

Acta Cryst. (1998). **C54**, 825–827

(2,5-Diméthylpyrrolidin-2-yl)phosphonate de Diisopropyle

VALERIE ROUBAUD,^a DIDIER SIRI,^a PAUL TORDO,^a FATHIA HDII^b ET JEAN-PIERRE REBOUL^b

^aUniversité de Provence, Structure et Réactivité des Espèces Paramagnétiques, URA CNRS 1412, 13397 Marseille CEDEX 20, France, et ^bGroupe d'Enseignement et de Recherche en Chimie Thérapeutique, Organique et Physique, Faculté de Pharmacie, 27 boulevard Jean-Moulin, 13385 Marseille CEDEX 5, France. E-mail: siri@srepri2.univ-mrs.fr

(Received 4 février 1997, accepted 4 juin 1997)

Abstract

The title compound, diisopropyl (2,5-dimethylpyrrolidin-2-yl)phosphonate, $C_{12}H_{26}NO_3P$, was isolated as colorless crystals during the synthesis of α -amino-alkenylphosphonates and their transformation to α -phosphorylated pyrrolidines via an aminomercuration-demercuration sequence. As the stereochemical selectivity of this type of reaction is difficult to predict because of its dependency on experimental conditions, the crystal structure is reported here. X-ray analysis shows a *trans* stereochemistry of the two methyl groups.

Commentaire

La synthèse d'une série d' α -amino alkénylphosphonates et de leur transformation en pyrrolidines α -phosphorylées via une séquence aminomercuration-démécuration a déjà été décrite dans de précédents articles (Roubaud *et al.*, 1994, 1996; Fréjaville *et al.*, 1995). Elle est ici appliquée à la molécule (2,5-diméthylpyrrolidin-2-yl)phosphonate de diisopropyle, (I), selon le schéma. La dernière étape conduit à l'obtention de deux isomères géométriques *cis* et *trans*. La stéréosélectivité de ce type de réaction est difficile à prédire car elle dépend des conditions expérimentales. Cependant l'isomère *trans* (minoritaire) a pu être isolé par des recristallisations successives dans le *n*-pentane à 253 K. La structure de cet isomère a fait l'objet de notre étude cristallographique et a permis d'une part, de confirmer la position *trans* des

Table 1. Selected geometric parameters (\AA , $^\circ$)

C7—N21	1.371 (3)	C19—N22	1.464 (2)
C8—O18	1.366 (2)	C19—C20	1.497 (3)
C11—N12	1.287 (3)	C19—C25	1.515 (3)
N12—O13	1.277 (2)	C20—N21	1.311 (3)
O18—C19	1.452 (2)		
C8—C7—N21	123.0 (2)	C8—O18—C19	118.6 (2)
C7—C8—O18	118.6 (2)	O18—C19—C20	108.8 (2)
O13—N12—C11	125.3 (2)	N22—C19—C25	104.0 (2)
O13—N12—C14	113.4 (2)	C20—N21—C7	117.3 (2)
C11—N12—C14	121.2 (2)		
C8—C9—C11—N12	168.6 (2)	C9—C11—N12—C14	−168.0 (2)
C9—C11—N12—O13	8.2 (3)		

Data collection: *CAD-4 Operations Manual* (Enraf–Nonius, 1977). Cell refinement: *CAD-4 Operations Manual*. Data reduction: *DATARED* (Pèpe, 1979). Program(s) used to solve structure: *SHELXS86* (Sheldrick, 1990). Program(s) used to refine structure: *SHELXL93* (Sheldrick, 1993). Molecular graphics: *ORTEPII* (Johnson, 1976). Software used to prepare material for publication: *SHELXL93*.

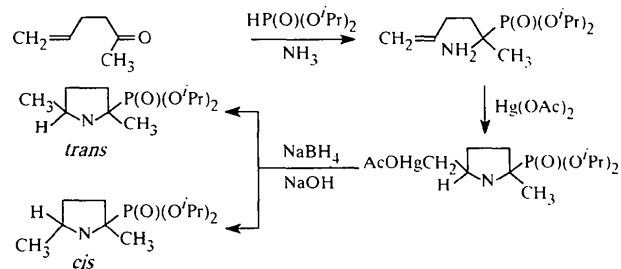
We thank the Essilor Institute Paris St Maur (France) and Transition Inc., St Petersbourg (USA), for financial support.

Supplementary data for this paper are available from the IUCr electronic archives (Reference: BM1178). Services for accessing these data are described at the back of the journal.

References

- Baillet, G., Giusti, G. & Guglielmetti, R. (1993). *J. Photochem. Photobiol. A Chem.* **70**, 157–161.
 Bertelson, R. C. (1971). In *Photochromism*, edited by G. H. Brown. New York: Wiley Interscience.
 Campredon, M., Guglielmetti, R., Luccioni-Houzé, B., Pèpe, G., Alberti, A. & Macciantelli, D. (1997). *Free Radical Res.* **26**, 529–536.
 Dess, D. B. & Martin, J. C. (1983). *J. Org. Chem.* **48**, 4155–4156.
 Enraf–Nonius (1977). *CAD-4 Operations Manual*. Enraf–Nonius, Delft, The Netherlands.
 Johnson, C. K. (1976). *ORTEPII*. Report ORNL-5138. Oak Ridge National Laboratory, Tennessee, USA.

deux groupements méthyles fixés sur le cycle pyrrolidine et, d'autre part, la géométrie respective des atomes asymétriques ainsi que celle du groupement phosphonate, afin d'appréhender des conformations privilégiées envisageables à l'état liquide.



La Fig. 1 est une vue de la molécule avec la numérotation adoptée. Le cycle pyrrolidinique se présente sous forme enveloppe: l'atome C4 se situant à 0,569 (7) Å du plan moyen (C1–C3, N). Les groupements méthyles, C5 et C6, de part et d'autre du plan (C1–C4, N), à des distances respectives de 1,373 (6) et –0,301 (6) Å confirmant ainsi leur isométrie *trans*. L'atome d'azote est dans un état d'hybridation sp^3 : la distance entre l'atome N et le plan défini par les trois atomes (C1, C4, HN) est de 0,424 (2) Å pour un angle moyen autour de N de 109,2 (2)°. Pour l'ensemble de quatre molécules voisines, à savoir, le (2,5-diméthylpyrrolidin-2-yl)phosphonate de diisopropyle, (I), le (2,5-diméthylpyrrolidin-2-yl)phosphonate de diéthyle, (II), le (5-isopropyl-2-méthylpyrrolidin-2-yl)phosphonate de diéthyle, (III) (Le Moigne, 1997), et le (*N*-hydroxy-2-méthylpyrrolidin-2-yl)phosphonate de diéthyle, (IV) (Barbati *et al.*, 1997), les atomes d'hydrogène [composés (I), (II) et (III)] ou groupement OH [composé (IV)] fixés sur l'atome d'azote conservent la même configuration spatiale à savoir en *trans* par rapport à l'atome de phosphore, ce qui place le doublet libre de l'atome d'azote en position *cis* par rapport à l'atome de phosphore. La cohésion cristalline est essentiellement assurée

par des liaisons hydrogène intermoléculaires du type O1···H—N de 3,020 (6) Å. Les autres contacts intermoléculaires sont du type Van der Waals.

Partie expérimentale

Le composé a été préparé par recristallisation dans le *n*-pentane à 253 K. Des monocristaux incolores sous forme parallélépipédique ont été obtenus.

Données cristallines

$C_{12}H_{26}NO_3P$	Mo $K\alpha$ radiation
$M_r = 263,31$	$\lambda = 0,7107 \text{ \AA}$
Orthorhombique	Paramètres de la maille à l'aide de 25 réflexions
<i>Pbca</i>	$\theta = 2-28^\circ$
$a = 10,098 (2) \text{ \AA}$	$\mu = 0,171 \text{ mm}^{-1}$
$b = 18,902 (4) \text{ \AA}$	$T = 293 (2) \text{ K}$
$c = 16,710 (3) \text{ \AA}$	Petit prisme
$V = 3189,5 (11) \text{ \AA}^3$	$0,4 \times 0,3 \times 0,3 \text{ mm}$
$Z = 8$	Incolore
$D_\lambda = 1,097 \text{ Mg m}^{-3}$	
$D_m = 1,10 (1) \text{ Mg m}^{-3}$	
D_m mesurée par flottaison	

Collection des données

Diffractomètre Nonius CAD-4	1151 réflexions avec $I > 2\sigma(I)$
Balayage θ	$\theta_{\max} = 28^\circ$
Pas de correction d'absorption	$h = 0 \rightarrow 11$
1901 réflexions mesurées	$k = 0 \rightarrow 21$
1901 réflexions indépendantes	$l = 0 \rightarrow 19$
	3 réflexions de référence
	fréquence: 60 min
	variation d'intensité: néant

Affinement

Affinement à partir des F^2	$(\Delta/\sigma)_{\max} = 0,085$
$R(F^2) > 2\sigma(F^2) = 0,045$	$\Delta\rho_{\max} = 0,24 \text{ e \AA}^{-3}$
$wR(F^2) = 0,090$	$\Delta\rho_{\min} = -0,24 \text{ e \AA}^{-3}$
$S = 1,082$	Pas de correction
1901 réflexions	d'extinction
154 paramètres	Facteurs de diffusion des
H atomes non refinés	<i>International Tables for</i>
$w = 1/[o^2(F_o^2) + (0,028P)^2]$	<i>Crystallography</i> (Vol. C)
où $P = (F_o^2 + 2F_c^2)/3$	

Tableau 1. Paramètres géométriques (Å, °)

C1—N17	1,492 (4)	C7—C8	1,466 (5)
C1—C5	1,498 (4)	C7—C9	1,499 (5)
C1—C2	1,554 (4)	C10—C12	1,390 (6)
C1—P13	1,813 (3)	C10—C11	1,407 (6)
C2—C3	1,491 (5)	C10—O16	1,443 (4)
C3—C4	1,472 (5)	P13—O14	1,458 (2)
C4—N17	1,450 (4)	P13—O16	1,567 (2)
C4—C6	1,481 (5)	P13—O15	1,582 (2)
C7—O15	1,443 (4)		
N17—C1—C5	113,7 (3)	C8—C7—C9	111,4 (4)
N17—C1—C2	102,9 (3)	C12—C10—C11	115,6 (5)
C5—C1—C2	113,0 (3)	C12—C10—O16	110,7 (4)
N17—C1—P13	104,4 (2)	C11—C10—O16	112,3 (4)
C5—C1—P13	110,9 (2)	O14—P13—O16	113,12 (14)
C2—C1—P13	111,4 (2)	O14—P13—O15	115,60 (13)
C3—C2—C1	105,6 (3)	O16—P13—O15	103,31 (13)

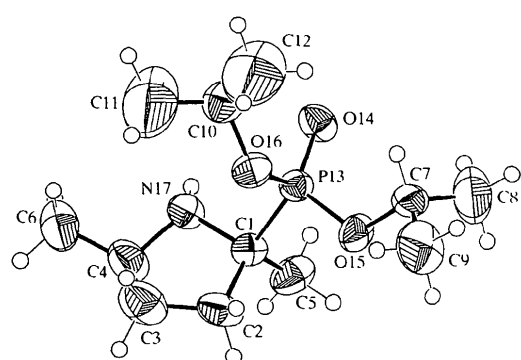


Fig. 1. Géométrie moléculaire du (2,5-diméthylpyrrolidin-2-yl)phosphonate de diisopropyle [(I); ORTEP; Johnson, 1965]. Les ellipsoïdes de vibration des atomes non hydrogénés ont une probabilité de 50%. Les atomes d'hydrogène sont représentés par des sphères de rayon arbitraire.

C4—C3—C2	106.4 (3)	O14—P13—C1	114.92 (14)
N17—C4—C3	103.3 (3)	O16—P13—C1	107.66 (15)
N17—C4—C6	112.6 (3)	O15—P13—C1	100.88 (14)
C3—C4—C6	119.0 (4)	C7—O15—P13	119.3 (2)
O15—C7—C8	109.5 (4)	C10—O16—P13	123.4 (2)
O15—C7—C9	106.2 (3)	C4—N17—C1	107.9 (3)

Collection des données: *CAD-4 Operations Manual* (Enraf–Nonius, 1977). Affinement des paramètres de la maille: *CAD-4 Operations Manual*. Réduction des données: *SDP* (Frenz, 1978). Programme(s) pour la solution de la structure: *SHELXS86* (Sheldrick, 1990). Programme(s) pour l'affinement de la structure: *SHELXL93* (Sheldrick, 1993). Graphisme moléculaire: *ORTEP* (Johnson, 1965). Logiciel utilisé pour préparer le matériel pour publication: Word5,1a sur Macintosh IIvx.

Des documents complémentaires concernant cette structure peuvent être obtenus à partir des archives électroniques de l'UICr (Référence: PA1253). Les processus d'accès à ces archives est donné au dos de la couverture.

Références

- Barbati, S., Siri, D., Tordo, P. & Reboul, J.-P. (1997). *Acta Cryst. C53*, 461–463.
 Enraf–Nonius (1977). *CAD-4 Operations Manual*. Enraf–Nonius, Delft, Les Pays-Bas.
 Fréjaville, C., Karoui, H., Tuccio, B., Le Moigne, F., Culcasi, M., Piétri, S., Lauricella, R. & Tordo, P. (1995). *J. Med. Chem.* **38**, 258.
 Frenz, B. A. (1978). *The Enraf–Nonius CAD-4 SDP – a Real-Time System for Concurrent X-ray Data Collection and Crystal Structure Solution. Computing in Crystallography*, edited by H. Schenk, R. Olthof-Hazekamp, H. van Koningsveld & G. C. Bassi, pp. 64–71. Delft University Press.
 Johnson, C. K. (1965). *ORTEP*. Report ORNL-3794. Oak Ridge National Laboratory, Tennessee, EU.
 Le Moigne, F. (1997). Communication privée.
 Roubaud, V., Bliek, C., Lauricella, R., Vila, F., Siri, D. & Tordo, P. (1996). *Phosphorus Sulfur Silicon*, **112**, 143–153.
 Roubaud, V., Le Moigne, F., Mercier, A. & Tordo, P. (1994). *Phosphorus Sulfur Silicon*, **86**, 39–54.
 Sheldrick, G. M. (1990). *Acta Cryst. A46*, 467–473.
 Sheldrick, G. M. (1993). *SHELXL93. Program for the Refinement of Crystal Structures*. Université de Göttingen, Allemagne.

Acta Cryst. (1998). **C54**, 827–829

N-[2-(N'-Hydroxy-N-oxidodiaziniumyl)-3-methylbutyl]octanamide

RAKWOOD CHANG AND WHANCHUL SHIN

Department of Chemistry and Center for Molecular Catalysis, Seoul National University, Seoul 151-742, Korea. E-mail: nswcshin@plaza.snu.ac.kr

(Received 24 July 1997; accepted 12 January 1998)

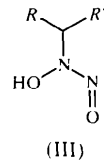
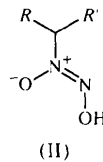
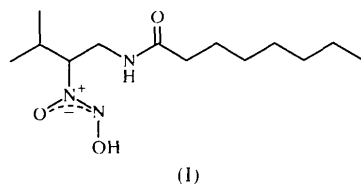
Abstract

The title compound, $C_{13}H_{27}N_3O_3$, exists in the N' -hydroxy- N -oxidodiaziniumyl [R — $N(O)=N-OH$] form

instead of the tautomeric N -hydroxy- N' -nitrosoamino [R — $N(OH)=N=O$] form. Variation of the bond distances and good planarity indicate that resonance takes place in the $[N_2O_2]H$ moiety. The molecule assumes an overall elongated conformation. Two centrosymmetrically-related molecules form a dimer via two three-centered $N1-H\cdots O2/O3$ hydrogen bonds. Crystal packing consists of alternating hydrophilic and hydrophobic layers.

Comment

Compounds containing the NO group, such as the N -nitroso compounds, have been studied extensively due to their various physiological effects (Scanlan & Tannenbaum, 1981). Compounds of the $R_2N[N_2O_2]^-$ anion are of current interest as pharmacological probes due to their ability to regenerate nitric oxide (NO), which is known as a multifaceted bioregulatory agent (Saavedra *et al.*, 1992). However, compounds of the $R[N_2O_2]H$ type have rarely been studied. Alanosine, which shows antibiotic and anticancer activities, is one of the few examples to have been isolated from microorganisms (Murthy *et al.*, 1966). X-ray analysis of L-alanosine showed that, unlike the previously proposed structure, the H atom of the $[N_2O_2]H$ moiety is bonded to the terminal O atom instead of the penultimate one (Jalal *et al.*, 1986). The title compound, (I), with an $[N_2O_2]H$ moiety, shows weak herbicidal activity and the present X-ray analysis has been performed to establish its structure.



An *ORTEPII* drawing (Johnson, 1976) of the title molecule with the atomic numbering scheme is presented in Fig. 1. The molecule exists in the N' -hydroxy- N -oxidodiaziniumyl form, (II), instead of its tautomeric N -hydroxy- N -nitrosoamino form, (III), as found in L-alanosine. The $N2-N3$ distance of $1.271(4)\text{ \AA}$ is slightly longer than the average value for a double bond [$1.24(1)\text{ \AA}$]. The $N2-O2$ distance of $1.265(3)\text{ \AA}$ is shorter than the $N3-O3$ distance of $1.369(4)\text{ \AA}$, showing that the $N2-O2$ bond possesses considerable double-bond character. These bond distances imply that the correct structure is (I), with resonance in the